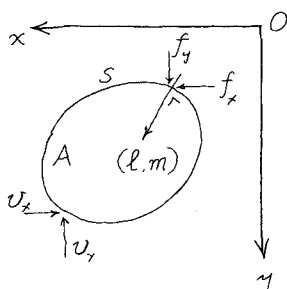


土の塑性論における極限解析定理(定常透水のある場合)

東京工業大学工学部 正員 山口 柏樹

筆者が前に導いた土の塑性力学における極限解析定理を既知間引き水圧のある場合、たとえば定常透水のある場合に拡張した結果を報告する。

二次元応力 σ'_{ij} ($\sigma'_x, \sigma'_y, \tau_{xy}$) は釣合方程式と Mohr-Coulomb の破壊規準を満すとし、ヒズミ速度 $\dot{\varepsilon}_{ij}$ ($\dot{\varepsilon}_x, \dot{\varepsilon}_y, \dot{\tau}_{xy}$) は要素の速度成分 (v_x, v_y) から導かれ、一般的な形は $2\dot{\varepsilon}_{ij} = \partial v_i / \partial x_j + \partial v_j / \partial x_i$ で表わされる。応力場に因して両者の間で仮想仕事の積分を求めるこ



(Fig. 1)

$$\int \sigma'_{ij} \dot{\varepsilon}_{ij} dA = \int (\sigma'_x \dot{\varepsilon}_x + \sigma'_y \dot{\varepsilon}_y + 2\tau_{xy} \dot{\tau}_{xy}) dA \\ = - \oint (f_x v_x + f_y v_y) dS - \int f_y v_x dA + \int \left(\frac{\partial u}{\partial x} v_x + \frac{\partial u}{\partial y} v_y \right) dA \\ = - \oint (f_x v_x + f_y v_y) dS - \int \partial^2 v_x dA + \int \omega h v_n dS - \int \omega h \dot{\theta} dA$$

ただし $\dot{\theta} = \dot{\varepsilon}_x + \dot{\varepsilon}_y$, $v_n = -v_x l - v_y m$ (1)
が得られる (Fig. 1 参照)。なお h は間引き圧力, n は x 軸を基準として測るポテンシアルである。

下界定理：正解応力を σ'_{ij} 、正解速度を v とし、 v から導かれるヒズミ速度を $\dot{\varepsilon}_{ij}$ とする。 $\dot{\varepsilon}_{ij}$ と適合しない可容応力を σ'^*_{ij} とかくと最大塑性仕事の原理によつて $\sigma'_{ij} \cdot \dot{\varepsilon}_{ij} \geq \sigma'^*_{ij} \cdot \dot{\varepsilon}_{ij}$ が行なわれる。したかつて面積分をとつて式(1)を参照すると

$$\int \left(\frac{\sigma'_{ij}}{\sigma'^*_{ij}} \right) \dot{\varepsilon}_{ij} dA = - \int \left\{ \left(\frac{f_x}{f_x^*} \right) V_x + \left(\frac{f_y}{f_y^*} \right) V_y - \omega h V_n \right\} dS - \int (f_x v_x + f_y v_y - \omega h v_n) dS \\ - \int \partial^2 v_x dA - \int \omega h \dot{\theta} dA$$

ただし境界条件が変位で規定される部分 S_V 上では V_x, V_y を時に v_x, v_y と書き、その上で σ'^*_{ij} を維持する可容表面力を $f^*(f_x^*, f_y^*)$ とした。以上により

$$- \int_{S_V} (f_x V_x + f_y V_y) dS \geq - \int_{S_V} (f_x^* V_x + f_y^* V_y) dS \quad (2)$$

下界定理(2)は重力、透水力の有無にかかわらず成立つが、応力や速度に不連続が存在しても同じ形式のものを得られることも容易に証明できる。

上界定理：可容速度 v^* は等方性、可压性の二条件と S_V 上で v (v_x, v_y) に等しい。ここで v^* から導かれる $\dot{\varepsilon}^*$ と適合する応力を σ'^*_{ij} とすると、これらとの間には次の関係が成立つ。

$$\begin{pmatrix} \dot{\varepsilon}^* \\ \dot{\varepsilon}_y^* \end{pmatrix} = \lambda^* \left\{ \begin{pmatrix} 1 \\ -1 \end{pmatrix} (\bar{\sigma}_x^* - \bar{\sigma}_y^*) - (\bar{\sigma}_x^* + \bar{\sigma}_y^*) \sin^2 \phi \right\}, \quad \dot{\tau}_{xy}^* = 2\lambda^* \tau_{xy}^* \quad (3)$$

ここで応力は換算応力を書いてある。これより Schwarz の不等式を利用して計算すると $\sigma'_{ij} \dot{\varepsilon}^* \leq \sigma'^*_{ij} \dot{\varepsilon}^*$ が結論される。この体積分をとり、左辺を(1)、右辺を(3)で改めると

$$\int \sigma_{ij}' \dot{\varepsilon}_{ij}^* dA = - \int_{S_F} (f_x v_x^* + f_y v_y^* - \gamma_w h v_n^*) ds - \int_{S_V} (f_x V_x + f_y V_y - \gamma_w h V_n) ds$$

$$- \int \gamma' v_y^* dA - \int \gamma_w h \theta^* dA \leq \int \sigma_{ij}^{**} \dot{\varepsilon}_{ij}^* dA = 2 \int \lambda' c' (\bar{\sigma}_x^* + \bar{\sigma}_y^*) \sin \phi' \cos \phi' dA$$

ここで $\dot{\theta}^* = \dot{\varepsilon}_x^* + \dot{\varepsilon}_y^* = -2\dot{\alpha}^* (\bar{\sigma}_x^* + \bar{\sigma}_y^*) \sin^2 \phi' = -2\dot{\alpha}_{max}^* \sin \phi'$ を考慮すると上式より

$$- \int_{S_V} (f_x V_x + f_y V_y) ds \leq -\dot{\phi} \gamma_w h v_n^* ds + \int_{S_F} (f_x v_x^* + f_y v_y^*) ds$$

$$+ \int \gamma' v_y^* dA + 2 \int (c' \cos \phi' - \gamma_w h \sin \phi') \dot{\alpha}_{max}^* dA \quad (4)$$

なる上界定理を得る。

$(\sigma_{ij}^*, \dot{\varepsilon}_{ij}^*)$ に応力の不連続が存在しても式(4)は形を変えずに成立す。他方速度の不連続線が存在するとき、これを I^* とするとき上式の右辺に

$$\int_{I^*} c' \delta v_s^* dI^* (> 0) \quad (5)$$

が附加される。ここで δv_s^* は速度の不連続線（すなわちスベリ線）に沿う速度成分の飛躍量。

例：土圧論文の適用。

(Fig. 2) で ab と平行に連続的にすべる適合速度を仮定し $v_\xi^* = a\eta$ ($a > 0$) とする。スベリ帶 $d\eta$ について速度差が $\delta v_\xi^* = ad\eta$, $\delta v_\eta^* = ad\eta \tan \phi'$ のようになる。すなわち $v_\xi^* = v_\xi^* \tan \phi' = a\eta \tan \phi'$ 。これより xy 座標に変換して

$$v_x^* = a\eta \sin(\phi' + \beta) \sec \phi', v_y^* = -a\eta \cos(\phi' + \beta) \sec \phi'$$

壁で $\eta = (H-y) \sin \beta$ だから下端周り回転となる。

$$\dot{\varepsilon}_\xi^* = 0, \dot{\varepsilon}_\eta^* = a \tan \phi', 2\dot{\alpha}_{\xi\eta}^* = a$$
 に注意すると

$$2\dot{\alpha}_{max}^* = \sqrt{(\dot{\varepsilon}_\xi^* - \dot{\varepsilon}_\eta^*)^2 + 4\dot{\alpha}_{\xi\eta}^{*2}} = a \sec \phi'$$

(Fig. 2)

水位急降時には ab (S_F) 上で $h=0, v_n^* = 0, V_x, V_y = 0$,
 γ_w 上で $h=-y, v_n^* = -v_x^*$ カつ壁が滑りかれて $f_y = 0$

また $OA (S_F)$ 上では $f = 0$, 最後に A の内部で $h = 0$ に注意すると式(4)より

$$0 \leq - \int_0^H \gamma_w (-y) (-v_x^*) dy + \int_0^H f_x v_x^* dy + \int \gamma' v_y^* dA + \int c' dA$$

$c' = 0$ なら f_x は y に比例し、上式を計算の結果

$$\int_0^H f_x (H-y) dy = \frac{PH}{3} \geq \frac{H^3}{6 \sin(\phi' + \beta)} \left\{ \gamma \tan \beta \cos(\beta + \phi') + \gamma_w \frac{\sin \phi'}{\cos \beta} \right\}$$

ここで P は水平土圧である。上式の右辺は $\beta = \pi/4 - \phi'/2$ で最大となるから

$$P \geq \frac{\gamma H^2 \tan^2(\pi/4 - \phi'/2)}{2} + \frac{\gamma_w H^2 \sin \phi'}{1 + \sin \phi'}$$

[1] 山口柏樹 (1967) 土の剛塑性理論における極限定理と応用、土木学会論文集 No. 145

[2] Hakujyo Yamaguchi (1967) Discontinuity of stress and velocity in the rigid plastic field in soil mechanics, SOIL AND FOUNDATION